

III-133 疲労化過程における砂の剛性の変化

株式会社地質調査事務所 正員の今野 政志
建設省土木研究所 正員 龍岡 文夫

1. まえがき

これまで、筆者らは、土の動的変形特性把握のため、主に共振法土質試験機および低周波動的せん断試験機を用いて、土の剛性率 G 、減衰係数 γ を求めしてきた。これに加え、さらに昭和51年からは、振動三軸試験機により地震時の疲労化判定に適用すべき動的せん断強度を把握する一段階として、各種の実験を試みている。今回は、疲労化に伴う砂の剛性はどう変化するかについて調べた結果を報告する。

2. 実験方法および結果

実験は、豊満標準砂($G_S = 2.64$, $\epsilon_{max} = 0.96$, $\epsilon_{min} = 0.61$)を用いて、 $\phi=5cm$, $h=10cm$, $\phi=7.5cm$, $h=14cm$ の供試体ごとに種類を作成し行なった。供試体は、有效拘束圧 $\sigma'_c = 1 kg/cm^2$ ($\sigma_c = 4 kg/cm^2$, $\sigma_{BP} = 3 kg/cm^2$)とし、 $B \approx 0.85$ になるようにした。なお、載荷入力は、正弦波、周波数0.5Hzとした。測定は、電磁オシログラフを用いて、軸荷重、間隔水压、大変位計およびセル内に設置された微小変位計の4種類について行った。 $\sigma_p/\sigma'_c - N_e$ の関係を図-1に示す。なお、図に示されている σ_p/σ'_c は、実測から得られた相対密度 D_r を50%に修正して用いている。また、疲労化回数 N_e の判定は、

a). 初期疲労化時 b). 軸ヒズミの面振巾が2%時

c). 面振巾が5%時 d). 面振巾が10%時

の4方法により行なったが、実際には、疲労化が発生すると、軸ヒズミは急激に増大するため、c), d) の判定は不可能であった。図-1に示すように、 $\phi=5cm$ の供試体に較べて $\phi=7.5cm$ の供試体とは、データのバラツキが大きいものの、全般に直径の違いにより同一 N_e に対する σ_p/σ'_c の値に差が見られるようである。

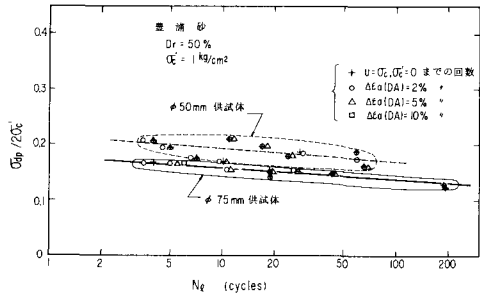


図-1 $\sigma_p/\sigma'_c - N_e$

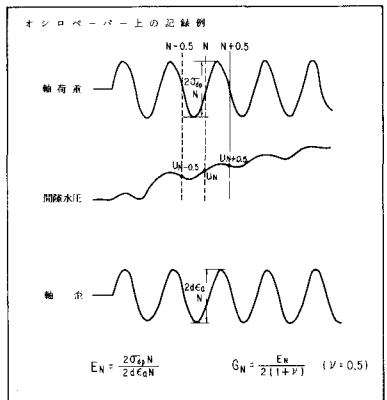


図-2 記録例

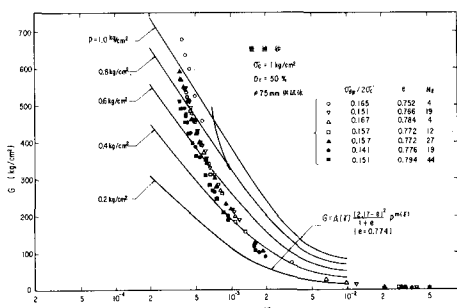


図-3 $G - \gamma$

結果から、 $G - \gamma$ の関係を図-3に示した。図のように、疲労化が進行(図中矢印方向)するにつれ、すなもと、 γ が

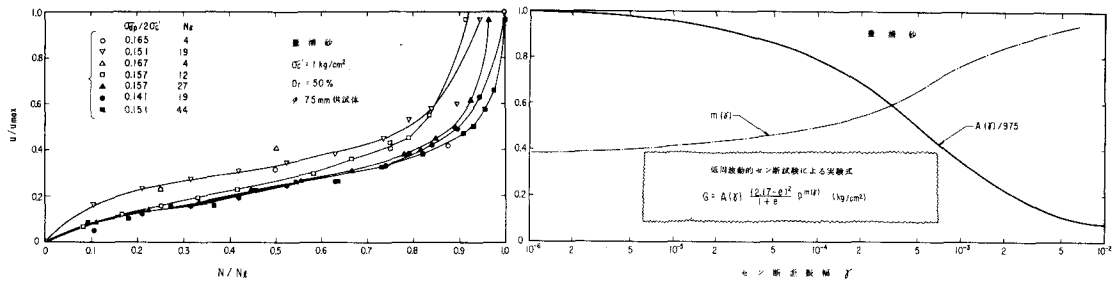


図-4 $U/U_{\max} \sim N/N_f$

増大するにしたがって、著しいGの減少が見られ、 $\gamma > 2 \times 10^{-2}$ のGは、 $10 \text{ kg}/\text{cm}^2$ 程度の小さな値を示す。また、液状化(γ)の判定曲線(2)するまでの曲げキ永圧(拘束圧)が、どのように変化するか調べたのが図-4であり、 $U/U_{\max} \sim N/N_f$ の関係を示した。図のように、用いた7個のデータには、多少のバラツキがあるが、傾向は類似している。すなわち、 $N/N_f < 0.8$ 位までは緩く上昇するが、それ以後急激な上昇が見られる。

4. 剛性率の比較

豊浦砂のせん断定数は、これまでの中空供試体のねじり試験により、次式が得られた。

$$G = A(\gamma) \frac{(1 - e)^2}{(1 + e)} P m(\gamma) \quad (3)$$

なお、 γ は平均有効主応力、 $A(\gamma)$ 、 $m(\gamma)$ は、図-5のように求められた。すなわち、振動三軸より求めた γ に対する $A(\gamma)$ 、 $m(\gamma)$ をそれを読み取り(3)式に代入して求めたものである。結果は、図-6、7に $\gamma=5 \text{ cm}$ 、 $\gamma=5 \text{ cm}$ をそれぞれ示した。図のように、 $\gamma=5 \text{ cm}$ では、バラツキが多く、また、 $\gamma=5 \text{ cm}$ では、(3)式より求めたGがやや低い値を示すが、試験機の載荷構造等の違いを考慮すれば、相対的には良い相関を示していると思われる。また、(3)式より拘束圧Pが変化した場合のGを求め図-3に併記した。図のように、 γ の増大によるGの減少に加えて、Pの減少(曲げキ永圧の上昇)に伴うGの減少があることが明らかである。

5. あとがき

振動三軸試験結果から、G、 γ を求めた一例とした。即ち、液状化しやすく過度の豊浦砂のGの値は、基本的に(3)式でもっと表わしえよい事が判明した。実験にあたりては、土木研究所振動研究室室長の岩崎敏郎氏、同研究室の皆様に多大の御協力を得た。末筆ながら感謝の意を表します。

<参考文献>

岩崎、龍岡、高木(1977)「砂のせん断変形係数と減衰の歪依存性について」 土木学会発表

図-5 $A(\gamma), m(\gamma) \sim \gamma$

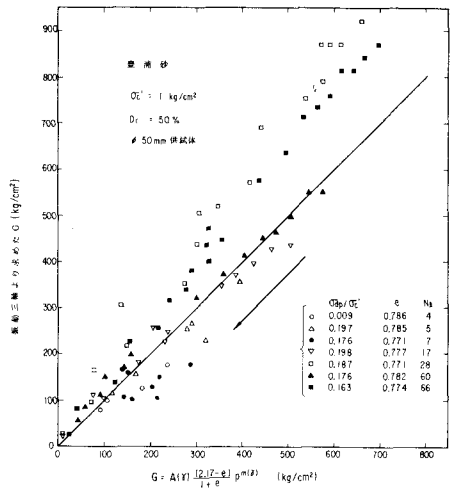


図-6 G の 比較

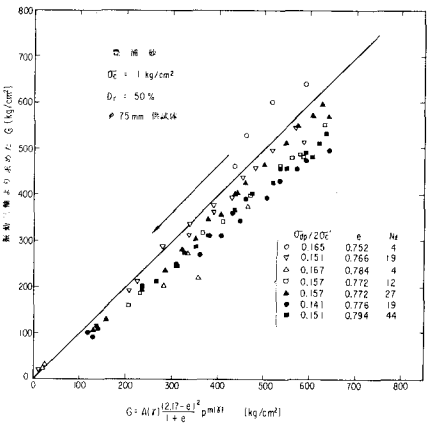


図-7 G の 比較